

Πρακτικά	4ου Συνέδριου	Μάϊος 1988	
δελτ. Ελλ. Γεωλ. Εταιρ.	Τόμ. XXIII/2 Vol.	σελ. 245-260 pag.	Αθήνα 1989 Athens
Bull. Geol. Soc. Greece			

## ΣΥΓΚΡΙΣΗ ΧΗΜΙΣΜΟΥ ΣΦΑΛΕΡΙΤΩΝ ΜΕΤΑΞΥ ΤΩΝ ΘΕΙΟΥΧΩΝ ΚΟΙΤΑΣΜΑΤΩΝ Pb-Zn (Au, Ag) ΤΗΣ ΑΝΑΤΟΛ. ΧΑΛΚΙΔΙΚΗΣ ΚΑΙ ΑΝΤΙΣΤΟΙΧΩΝ ΜΕΤΑΛΛΟΦΟΡΙΩΝ ΤΗΣ ΠΕΡΙΟΧΗΣ ΘΕΡΜΩΝ ΞΑΝΘΗΣ

Σ. ΚΛΑΟΓΕΡΟΠΟΥΑΟΥ,<sup>\*N.</sup> ΑΡΒΑΝΙΤΙΔΗ <sup>\*\*</sup>

### A B S T R A C T

The chemistry of sphalerites from the Pb-Zn (Au,Ag) sulfide orebodies of the eastern Chalkidiki Peninsula and the respective mineralizations of the Thermes area, Xanthi was compared the results gave a statistically significant difference within each group and between groups especially with regard to iron which shows higher concentrations in the sphalerites of the former area. This difference is explained as a result of changes in the composition of the fluids or/and the physico-chemical conditions at deposition.

### Ι Ε Ρ Ι Α Η Υ Ή

Στη μελέτη αυτή έγινε σύγκριση του χημισμού των σφαλεριτών από τα θειούχα κοιτάσματα Pb-Zn (Au,Ag) της ανατολικής Χαλκιδίκης και εκείνο των σφαλεριτών από αντίστοιχες μεταλλοφορίες της περιοχής Θερμών, Ξάνθης. Τα αποτέλεσματα δείχνουν μέσω στατιστικών σημαντική διαφορά τόσο εσωτερικά μεταξύ μεταλλοφορίων όσο κάτιον περιοχή και μεταξύ των περιοχών κύρια δύο αφορά τον σύνηρο που παρουσιάζει αυξημένες συγκεντρώσεις στους σφαλεριτές της πρώτης περιοχής. Αυτή η διαφορά εμφαινείται σαν αποτέλεσμα απόβολίσης της σύστασης των διαλυμάτων η/και των φυσικοχημικών συνθηκών απόστροψης.

### Ε Ι Σ Α Γ Ο Γ Η

Οι θειούχες μεταλλοφορίες Pb-Zn (Au,Ag) της Ανατολικής Χαλκιδίκης που εντοπίζονται στο σχηματισμό Κερδυλίων της αποκαλούμενης Σερβομακεδονικής Μάζας (Εικ. 1) παρουσιάζουν σημαντικές ομοιότητες τόσο από γεωλογικής δύο και κοιτασματολογικής πλευράς με εκείνες της περιοχής Θερμών της κεντρικής Ροδοπικής μάζας που εντοπίζονται στην μαρμαρο-αμφιβολιτή σειρά (Εικ. 1 modified formation; Arvanitidis et al., 1987; Kockel et al., 1977).

- I.P.M.E.: Ηεσσιγάνι 70, Αθήνα 115 27  
70 Mesogion Athens 115 27
- I.P.M.E.: Λαζαρίτη Ξάνθη, Μπρουκούμη 30  
Xanthi Branch 30 Brokoumi

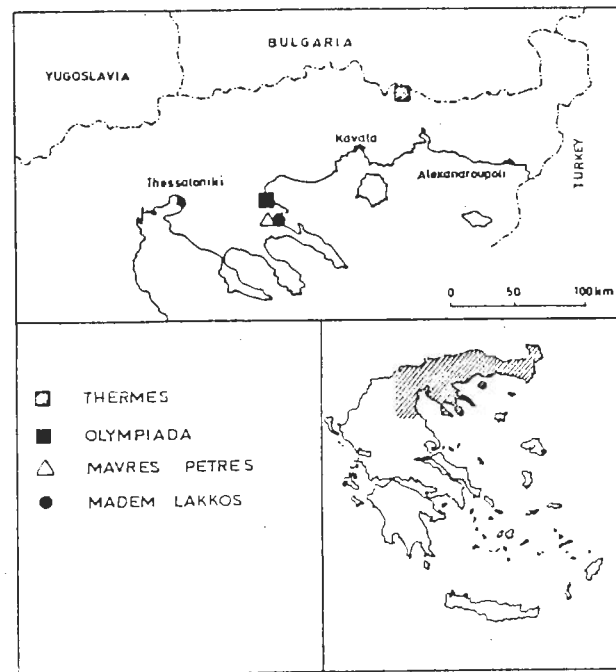
A Comparison of the Chemistry of Sphalerites between the Pb-Zn (Au,Ag) sulfide deposits of the Eastern Chalkidiki Peninsula and the respective mineralizations of the Thermes area, Xanthi.

By

S.I. Kalogeropoulos and N. Arvanitidis

Nicolaou 1964, 1971, Nicolaou and Kikonis, 1980, Kalogeropoulos et al., 1988 υπό έκδοση). Οι ασφαλερίτες λόγω του ότι παρουσιάζουν μία ποικιλία οπτικών και χημικών μεταβολών που μπορούν να δώσουν σημαντική πληροφόρηση σχετικά με τις συνθήκες απόθεσης και του επακόλουθου μεταμορφισμού θερινών κοιτασμάτων και πετρωμάτων που φιλοξενούν θειούχες μεταλλοφορίες (Barton and Toumlin 1966, Scott and Barnes, 1971; Scott, 1976) αποτέλεσαν αντικείμενο μελέτης.

Η μελέτη αυτή έχει σαν στόχο την σύγκριση των χημικών χαρακτηριστικών μεταξύ των σφαλεριτών στις μεταλλοφορίες κάθε περιοχής και εκείνη μεταξύ περιοχών. Η χημική σύσταση των σφαλεριτών σε επαφή με σιδηροπυρίτη προσδιορίσθηκε στον μικροαναλυτή JEOL SUPERPROBE 733 του IGMΕ. Οι συνθήκες λειτουργίας ήταν: 20KV, 5hA και 20". Χρησιμοποιήθηκαν ορυκτά στάνταρντς και οι διορθώσεις ZAF έγιναν με τη χρήση υπολογιστή PDP-11/04. Τα αποτελέσματα των αναλύσεων σφαλεριτών από τα κοιτάσματα Ολυμπιάδα, Μάντεμ Λάκος και Μαύρες Πέτρες της Ανατολικής Χαλκιδικής και μεταλλοφορίες της περιοχής Θερμών, δίνονται στους Πίνακες 1 και 2 αντίστοιχα.



Εικ. 1 Έρευνες των ερευνών

Fig. 1 Research sites

## 1. ΣΥΓΚΡΙΣΗ ΣΦΑΛΕΡΙΤΩΝ ΘΕΙΟΥΧΩΝ ΚΟΙΤΑΣΜΑΤΩΝ Pb-Zn (Au-Ag) ΑΝΑΤΟΛΙΚΗΣ ΧΑΛΚΙΔΙΚΗΣ

Επειδή οι σφαλερίτες από το κοίτασμα του Μάντεμ Λάκος θεωρούνται δεν αποτελούν αντιπροσωπευτικό δείγμα γιαυτό και η σύγκριση της χημικής σύστασης των σφαλεριτών αναφέρεται σε εκείνους από τα άλλα δύο κοιτάσματα την Ολυμπιάδα και τις Μαύρες Πέτρες (Πίν. 1). Αν και η μέση τιμή του σιδήρου των σφαλεριτών της Ολυμπιάδας είναι μεγαλύτερη εκείνης των σφαλεριτών των Μαύρων Πετρών, ωστόσο δεν υπάρχει στατιστική σημαντική διαφορά μεταξύ τους (επίπεδο εμπιστοσύνης 95%). Η διαφορά εντοπίζεται στο MnS & CdS που δείχνουν μία σχετική μείωση και αύξηση, αντίστοιχα στους σφαλερίτες της Ολυμπιάδας. Ωστόσο, επειδή η κατανομή των τελευταίων δεν είναι συστηματική γιαυτό και η παραπέρα στατιστική τεκμηρίωση των συμπερασμάτων είναι

Πίν. 1 Χημικός σφαλεριτών από θειούχα κοιτάσματα Pb-Zn(Au,Ag) της ανατολικής Χαλκιδικής Β. Ελλάδα

Tabl. 1 Chemistry of sphalerites form Pb-Zn(Au,ag) sulphide ore deposits of the eastern Chalkidiki Peninsula N. Greece

	Ολυμπιάδα η=51			Μαύρες Πέτρες η=32			Μάντεμ Λάκος η=5		
	Σ	1σ	Ευρος	Σ	1σ	Ευρος	Σ	1σ	Ευρος
Zn	56.8	2.3	53.7-63.6	59.8	3.6	53.4-64.8	67.4	0.9	63.2-65.3
Fe	8.4	2.2	3.3-10.7	5.4	2.0	1.8-10.4	1.2	0.1	1.1- 1.3
Cu	-								
Mn	0.5	0.3	0.1- 1.1	0.8	0.4	0.2- 1.8	0.3	0.1	0.3- 0.4
Cd	0.9	1.1	0.1- 2.9	0.3	0.2	0.2- 1.0	0.3	0.1	0.2- 0.4
S	33.4	0.6	32.1-34.4	33.5	0.7	32.0-34.8	34.0	0.6	33.3-34.6
Σύνολο:100.0				99.9			100.5		
Mole %									
FeS	15.1	3.9	5.0-19.1	9.6	5.3	3.2-17.9	2.2	0.1	2.0-2.30
MnS	0.9	0.5	0.3- 2.0	1.5	0.7	0.4- 3.3	0.6	0.1	0.5-0.7
CdS	1.8	2.4	0.3- 6.0	0.6	0.4	0.4- 2.1	0.6	0.2	0.4-0.8

η= αριθμός αναλύσεων; Σ = μέση τιμή; 1σ= σταδιαρή απόχλεση

Πεν. 2 Χημικός σφαλεριτών από θειούχες μεταλλοφορίες Pb-Zn (Au,Ag)  
περιοχή Θερμών, Κ. Ροδόπη, Ανατ. Βόρεια Ελλάδα

Table 2 Chemistry of sphalerites from the Thermes Pb-Zn (Au,Ag) sulphide mineralization, C. Rhodope, NE Greece

Φλεβική	Μετασωματική			Πολυμεταλλική Φλεβική/ Μετασωματική								
	$\eta^2 = 11$	$\eta = 49$	$\eta = 28$	$\bar{x}$	$1\sigma$	Ευρος	$\bar{x}$	$1\sigma$	Ευρος	$\bar{x}$	$1\sigma$	Ευρος
Zn	66.4	0.9	65.2-68.2	62.5	2.0	56.3-65.4	60.5	0.7	58.7-61.9			
Fe	0.6	0.3	0.2- 1.1	3.1	1.5	1.4- 9.1	5.0	0.8	3.4- 6.5			
Cu	-											
Mn	0.4	0.2	0.2- 0.7	1.3	0.3	0.7- 2.0	1.3	0.3	0.5- 1.8			
Cd	0.3	0.2	0.01- 0.6	0.2	0.2	0.02- 0.6	0.3	0.3	0.05- 1.1			
S	32.5	0.7	31.4-33.3	32.7	0.4	31.4-33.9	32.8	0.4	32.0-33.5			
Σύνολο:	100.2			99.8			99.9					
Mole%												
FeS	0.8	0.5	0.3-1.9	5.3	2.6	2.4- 15.4	8.5	1.4	5.8 - 11.6			
MnS	0.7	0.4	0.2-1.6	2.3	0.6	1.2 - 3.5	2.3	0.5	0.9 - 3.0			
CdS	0.2	0.2	0.01-0.4	0.1	0.1	0.01 - 0.5	0.2	0.2	0.01 - 0.7			

1. Η ταξινόμηση έγινε με βάση μορφολογικά, ορυκτολογικά χαρακτηριστικά και τις συνδεόμενες υδροθερμικές εξαλλοιώσεις (Αρβανιτέδης κ.α 1987)

2.  $\eta$  = αριθμός αναλύσεων;  $\bar{x}$  = μέση τιμή;  $1\sigma$  = σταύρη απόκλιση

και μεταλλοφορίες των δύο περιοχών που προανάφερθηκαν προσεγγίστηκε και με την μέθοδο discriminant. Σε αυτή την ανάλυση οι μεταβλητές που χρησιμοποιήθηκαν ήταν οι ZnS, FeS, MnS, & CdS, σε μόρια επί τοις εκατό. Τα αποτέλεσμα αυτής της προσέγγισης συμπυκνώνονται στον Πίνακα 3. Η eigevalue αντιπροσωπεύει την αναλογία της συνολικής μεταβλητότητας που ερμηνεύεται από την αντίστοιχη συνάρτηση discriminant.

Η κανονική συσχέτιση (canonical correlation) δείχνει την συσχέτιση μεταξύ των μεταβλητών σε κάθε ομάδα κατά μήκος της συνάρτησης discriminant που προσδιορίζει την τιχύ της και τα σχετικά μεγέθη των συντελεστών των κανονικών μεταβλητών (canonical variables) δείχνουν την σημασία των αντίστοιχων μεταβλητών στην διάκριση των ομάδων. Η στατιστική σημαντικότητα της διάκρισης τέλος δίνεται από τους συντελεστές Wilks Lambda ή Chi-square. Από τα στοιχεία του Πίνακα 3 φαίνεται ότι ο FeS έχει τη μεγαλύτερη συμμετοχή σ' αυτή τη διάκριση, ενώ η εικόνα 9 δείχνει αυτή τη διάκριση με μέσες τιμές της συνάρτησης 1.24 και -0.56 για τους σφαλερίτες της ανατολικής Χαλκιδικής και εκείνους των Θερμών, αντίστοιχα. Η συνάρτηση αυτή έχει θετικούς συντελεστές για το FeS, CdS & ZnS και αρνητικό συντελεστή για το MnS (Πίνακ. 3).

#### 4. ΣΥΜΠΕΡΑΣΜΑΤΑ

Τα κυριώτερα συμπεράσματα που προκύπτουν από τη σύγκριση του χημικού των σφαλεριτών των θειούχων κοιτασμάτων Pb-Zn (Au, Ag) της Ανατολικής Χαλκιδικής με εκείνο των σφαλεριτών από τις αντίστοιχες θειούχες μεταλλοφορίες της περιοχής Θερμών Ξάνθης είναι τα παρακάτω:

- Οι σφαλερίτες της Ολυμπιάδας παρουσιάζουν αυξημένο σίδηρο και κάδμιο και ελαττωμένο μαγγάνιο σε σχέση με εκείνους των M. Πετρών. Ήστρος σίδηρος των σφαλεριτών της Ολυμπιάδας δεν διακρίνεται στατιστικά (επίπεδο εμπιστοσύνης 95) από εκείνο των σφαλεριτών των M. Πετρών. Επίσης η κατανομή των καδμίου και μαγγανίου δεν παρουσιάζεται συστηματική γιαυτό είναι απαραίτητη μία παραπέρα στατιστική τεκμηρίωση των στοιχείων με διεύρυνση της βάσης δεδομένων τόσο από τις M. Πέτρες όσο και τον M. Λάκο. Παρόλα αυτά αν οι παραπάνω διαφορές παραμένουν τότε θα εκφράζουν μεταβολές στην σύσταση των μεταλλοφόρων υδροθερμικών διαλυμάτων (π.χ.  $ClFeS$  διάλυμα) η/και στις φυσικοχημικές συνθήκες απόθεσης του μεταλλεύματος (π.χ.  $FS_2$ , T).
- Ο σίδηρος των σφαλεριτών των θειούχων μεταλλοφοριών των Θερμών Ξάνθης παρουσιάζει αύξηση από την ιολεβική προς την μετασωματική προς την πολυμεταλλική φλεβική/μετασωματική μεταλλοφορία. Το μαγγάνιο δεν παρουσιά-

Πίνακας 3. Χημειούρος σε μόρια επει τους εκατό των σφαλερετών από τα θειούχα κοιτάσματα Pb-Zn (Au,Ag) της ανατολικής Χαλκιδικής και τις αντίστοιχες μεταλλοφορές των Θερμών Ξάνθης

Table 3: Chemistry is mole % of sphalerites from the Easter Chalkidiki Pb-Zn (Au,Ag) sulfide deposits and these from the similar mineralizations of Thermes, Xanthi

Ανατ. Χαλκιδική n=36			Θέρμες n=83			
$\bar{x}$	1σ	Ευρος	$\bar{x}$	1σ	Ευρος	
Zn S	86.20	5.30	80.6-92.7	92.00	3.60	82.5 - 99.2
Fe S	12.36	5.63	2.0-19.1	5.78	3.17	0.3 - 15.4
Mn S	1.03	0.62	0.3- 3.3	2.09	0.75	0.2 - 3.5
Cd S	0.41	0.60	0.3- 6.0	0.13	0.15	0.04 - 0.5

$\bar{x}$  = τιμές; 1σ= σταύρερή απόκλιση

ούμα ευρύτερης βάσης δεδομένων. Τα στατιστικά δεδομένα και η σύγκριση της κοιτανομής των στοιχείων Ge, Mn και Cd για τα κοιτάσματα της ανατολικής Χαλκιδικής δίνονται στις εικόνες 2, 3 και 4. Αν η παραπάνω εικόνα παραμείνει και μετά τη διεύρυνση της βάσης δεδομένων από σφαλερίτες των Μ. Πετρών και του Μ. Λάκου τότε οι διαφορές θα αντανακλούν μεταβολές στη σύσταση των μεταλλοφόρων υδροθερμικών διαλυμάτων (π.χ.  $\text{C}_1\text{FeS}$  διάλυμα) η/και στις φυσικοχημικές συνθήκες απόθεσης του μεταλλεύματος (π.χ.  $\text{FS}_2$ , T).

## 2. ΣΥΓΚΡΙΣΗ ΣΦΑΛΕΡΙΤΩΝ ΘΕΙΟΥΧΩΝ ΜΕΤΑΛΛΟΦΟΡΙΩΝ Pb-Zn (Au-Ag) ΘΕΡΜΩΝ ΞΑΝΘΗΣ

Από την σύγκριση των στατιστικών στοιχείων του Πίνακα 2 και των κατανομών που δίνονται στις εικόνες 5, 6 και 7 γίνεται τανερό ότι ο Fe αυξάνεται από την φλεβική στην μετασωματική προς την πολυμεταλλική φλεβική / μετασωματική μεταλλοφορία. Το Mn στις δύο τελευταίες δεν παρουσιάζει διαφορά ενώ στη φλεβική κινείται σε μικρότερες συγκεντρώσεις. Τέλος το Cd δεν παρουσιάζει διαφορές στους τρείς τύπους των μεταλλοφοριών όπως φαίνεται τόσο στον Πίνακα 2 όσο και στην εικόνα 7.

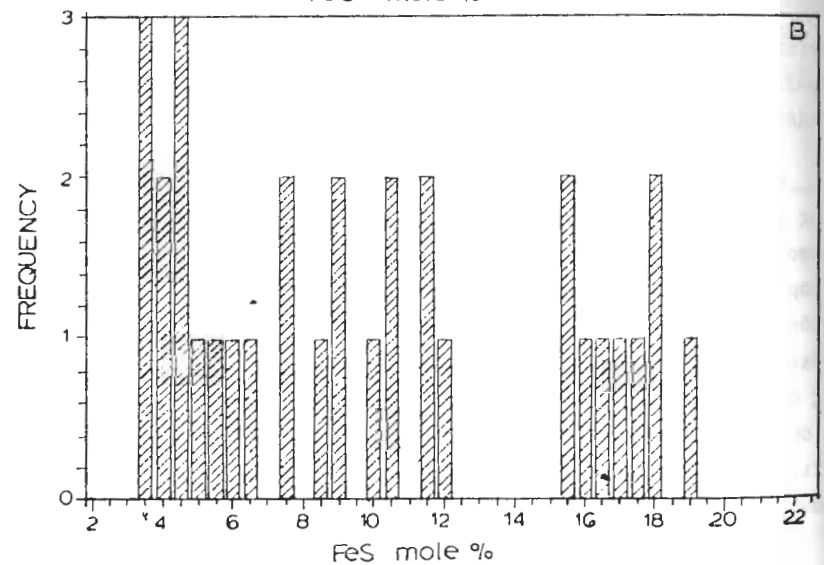
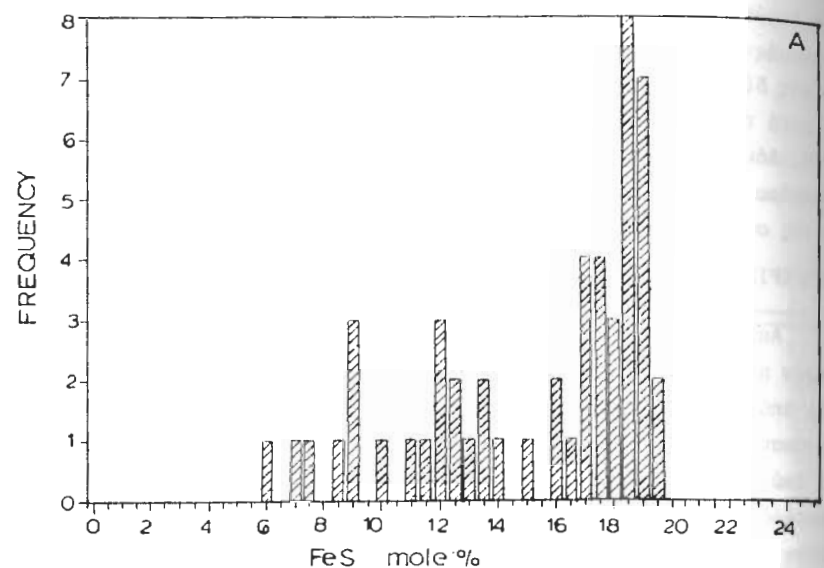
## 3. ΣΥΓΚΡΙΣΗ ΤΟΥ ΧΗΜΙΣΜΟΥ ΟΛΩΝ ΤΩΝ ΣΦΑΛΕΡΙΤΩΝ ΤΩΝ ΘΕΙΟΥΧΩΝ ΚΟΙΤΑΣΜΑΤΩΝ Pb-Zn (Au, Ag) ΤΗΣ ΑΝΑΤ. ΧΑΛΚΙΔΙΚΗΣ ΜΕ ΕΚΕΙΝΟΥΣ ΤΩΝ ΑΝΤΙΣΤΟΙΧΩΝ ΜΕΤΑΛΛΟΦΟΡΙΩΝ ΤΗΣ ΠΕΡΙΟΧΗΣ ΟΕΡΜΩΝ, ΞΑΝΘΗΣ

Ο Πίνακας 3 και η εικόνα 8 δίνουν την συνθετική εικόνα για σύγκριση της χημικής σύστασης όλων των σφαλεριτών από τα κοιτάσματα και τις μεταλλοφορίες των αντίστοιχων περιοχών έρευνας. Οι σφαλερίτες των θειούχων κοιτασμάτων Pb-Zn (Au, Ag) της ανατολικής Χαλκιδικής παρουσιάζουν αυξημένο σίδηρο και κάδμιο και μειωμένο μαγγάνιο σε σχέση με εκείνους από τις θειούχες μεταλλοφορίες Pb-Zn (Au, Ag) της περιοχής Οερμών, Ξάνθης. Οι διαφορές αυτές αντικατοπτρίζουν την συμμετοχή των σφαλεριτών της θειούχης αστιν ομάδα των κοιτασμάτων της ανατολικής Χαλκιδικής από τη μια πλευρά και τις φλεβικές μεταλλοφορίες στην ομάδα των μεταλλοφοριών της περιοχής θειούχης Ξάνθης από την άλλη.

Οι χημικές αυτές διαφορές αντανακλούν μεταβολές στη σύσταση των μεταλλοφόρων υδροθερμικών διαλυμάτων (π.χ.  $\text{C}_1\text{FeS}$  διάλυμα) η/και τις φυσικοχημικές συνθήκες, κατά την απόθεση του μεταλλεύματος (π.χ.  $\text{FS}_2$ , T). Το πρόβλημα αυτό αποτελεί συστατικό στοιχείο μιας παραπέρα έρευνας που στοχεύει στην αποκωδικοποίηση των φυσικοχημικών συνθηκών απόθεσης της μεταλλοφορίας.

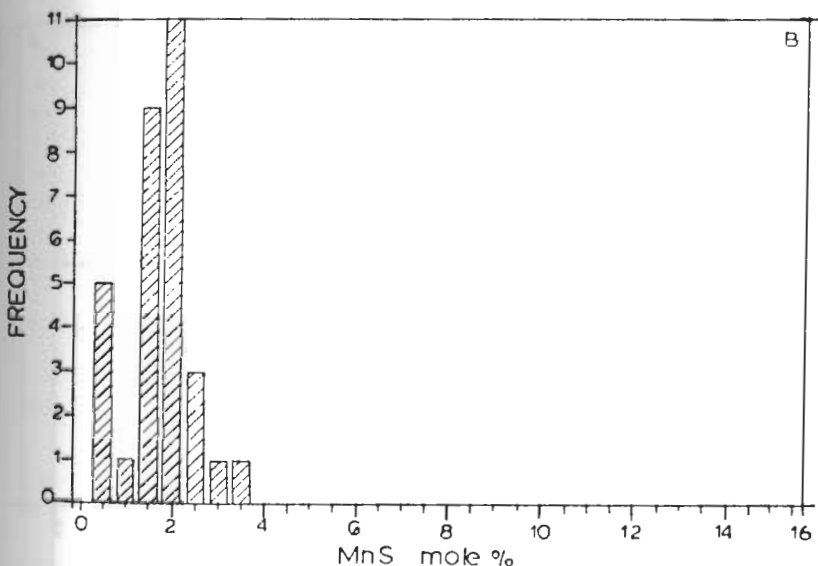
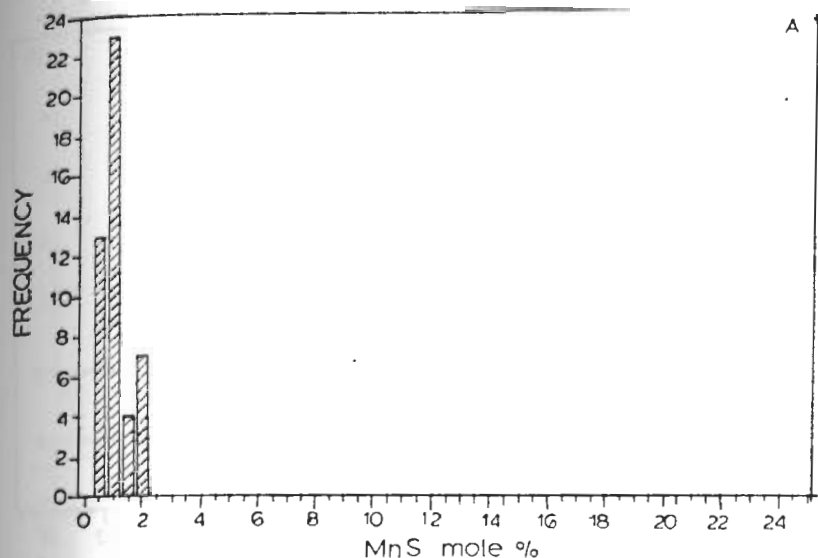
## ΣΤΑΤΙΣΤΙΚΗ ΕΠΕΞΕΡΓΑΣΙΑ ΔΕΔΟΜΕΝΩΝ (DISCRIMINANT ANALYSIS)

Η στατιστική διάκριση μεταξύ των σφαλεριτών από θειούχα κοιτάσματα

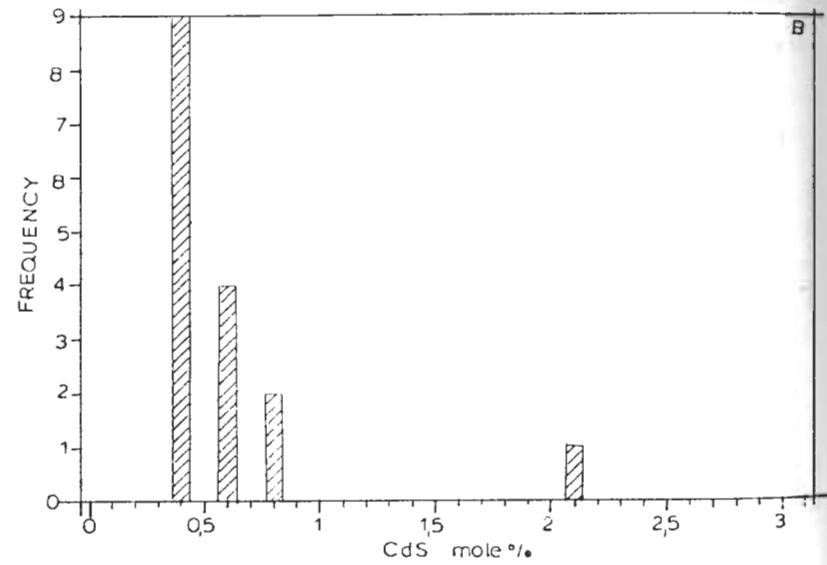
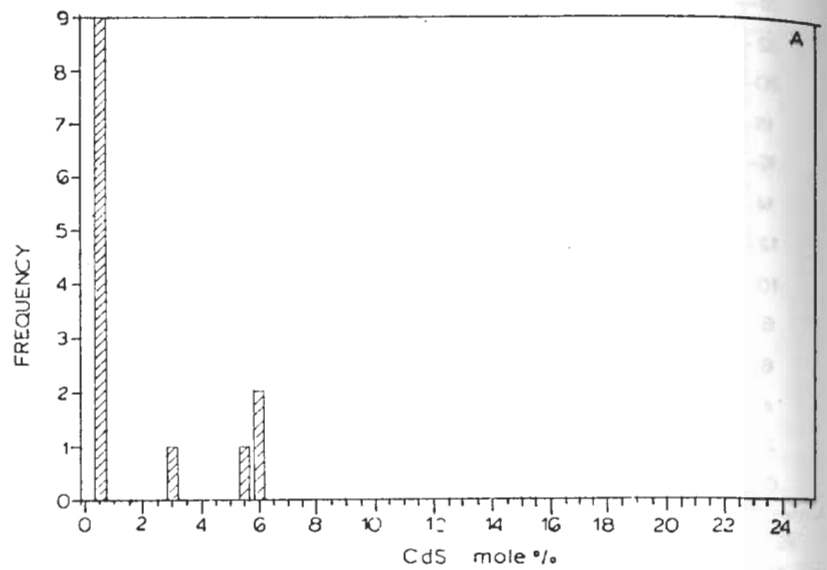


Εικ. 2. Ιατογράμματα σε μόρια επε τους εκατό FeS για σφαλερίτες από Ολυμπειάδα (Α) και Η. Πέτρες (Β)

Fig. 2. Mole% - FeS histograms of sphalerites from Olympias (A) and H. Petres (B)

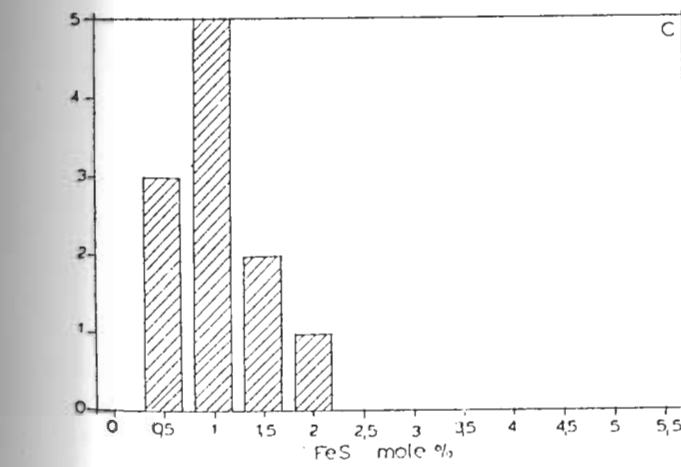
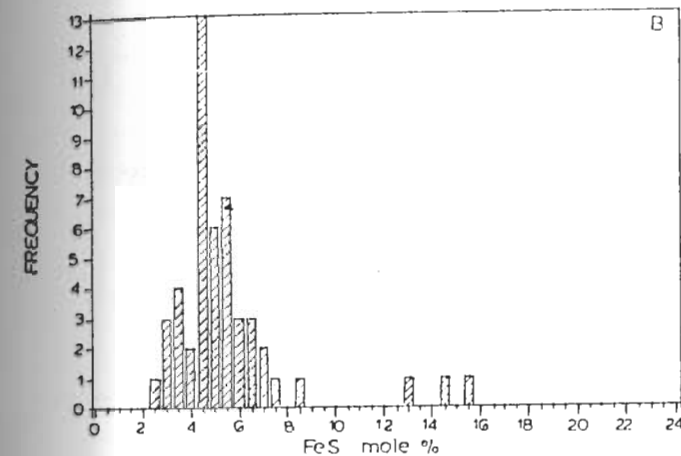
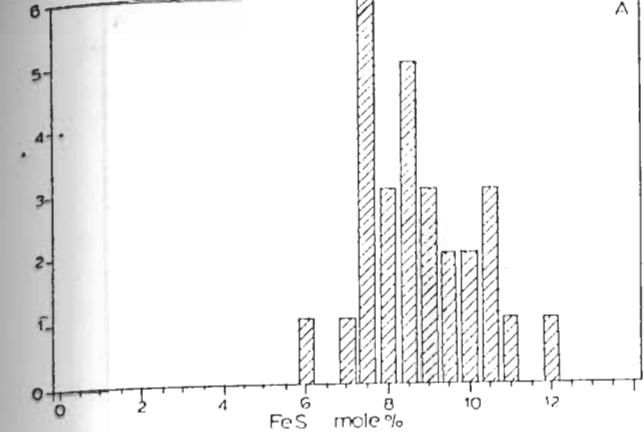


Εικ. 3. Ιατογράμματα όπως στην εικόνα 2 για MnS  
Fig. 3. Histograms as in figure 2 for MnS



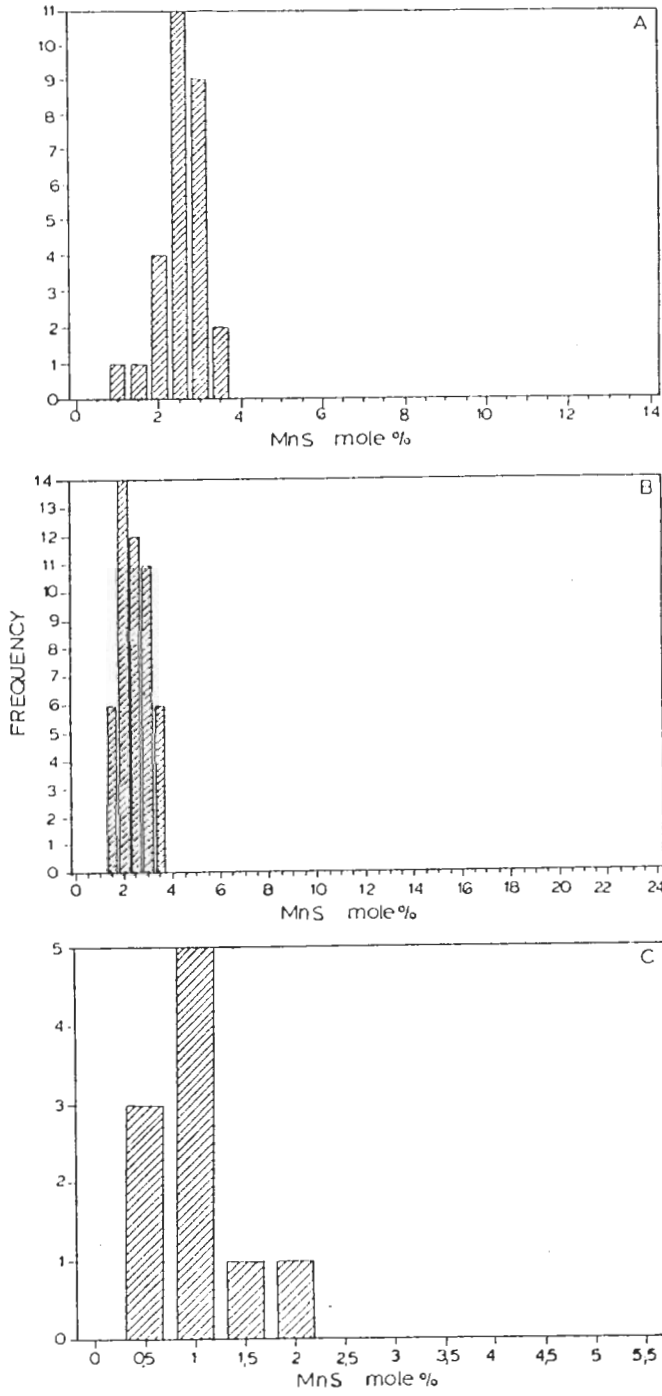
Πλ. 4. Ιστογράμματα στην ευκόνα 2 για CdS

Fig. 4. Histograms as in figure 3 for CdS



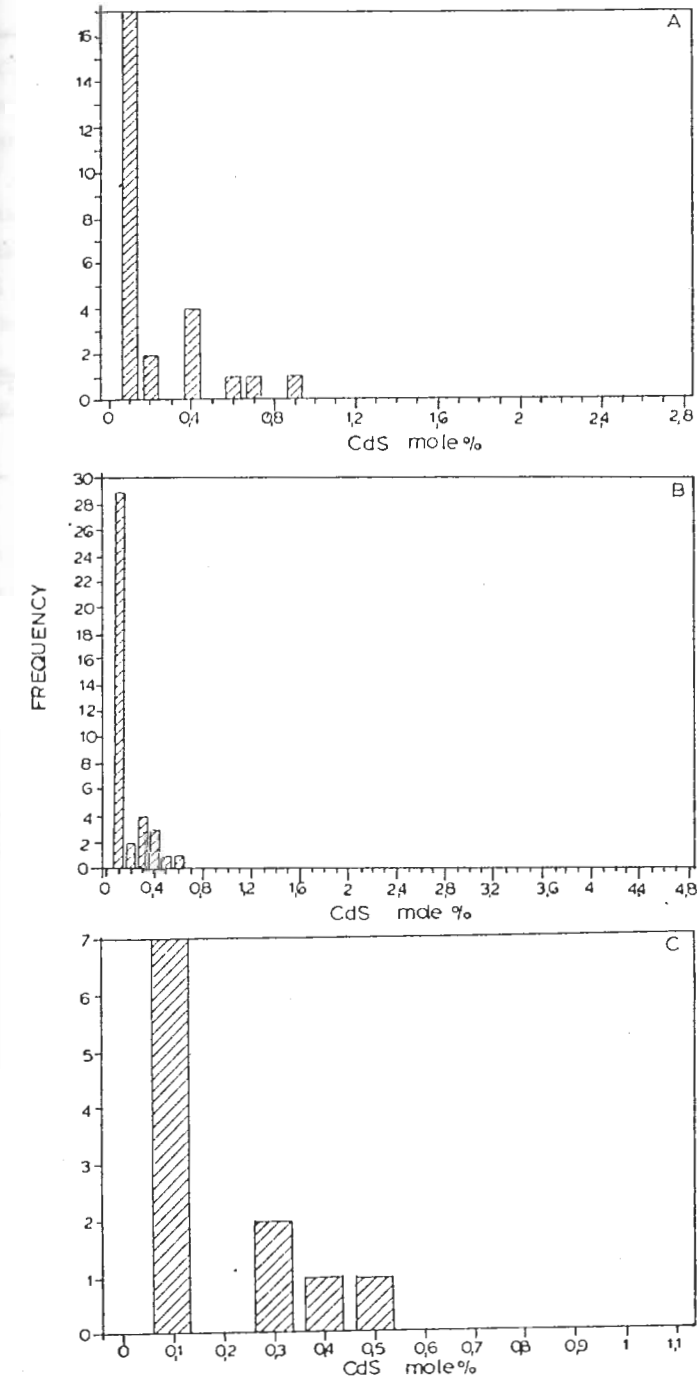
Πλ. 5. Ιστογράμματα σε μόρια επει τους σκατό FeS σε σφαλερίτες από πολυμεταλλική φλεβική/μετασωματική (Α), μετασωματική (Β) και φλεβική (C) μεταλλοφορία Θερμών.

Ψηφιακή Βιβλιοθήκη "Θεόφραστος" - Τμήμα Γεωλογίας, Α.Π.Θ.  
Fig. 5. Mole % FeS histogram for shpalerites from polymetallic vein/metamorphic(A) metasomatic (B) and vein (C) mineralization, Thermes.

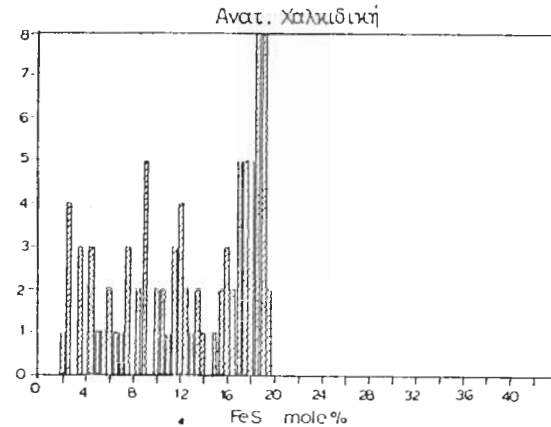


Εικ. 6 Ιστογράμματα όπως στην εικόνα 5 για MnS  
Fig. 6. Histograms as in figure 5 for MnS

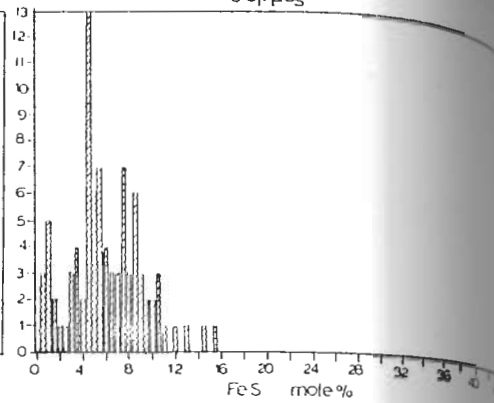
Ψηφιακή Βιβλιοθήκη "Θεόφραστος" - Τμήμα Γεωλογίδες. Α.Π.Θ.  
Fig. 7 Histograms as in figure 5 for CdS



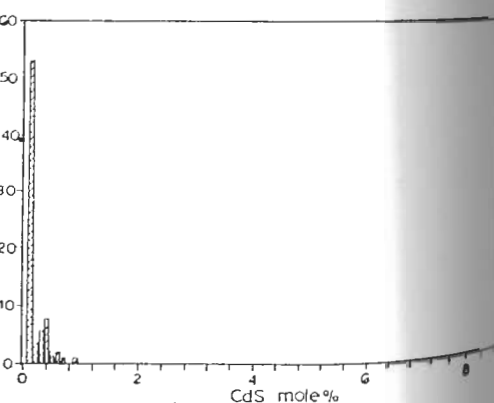
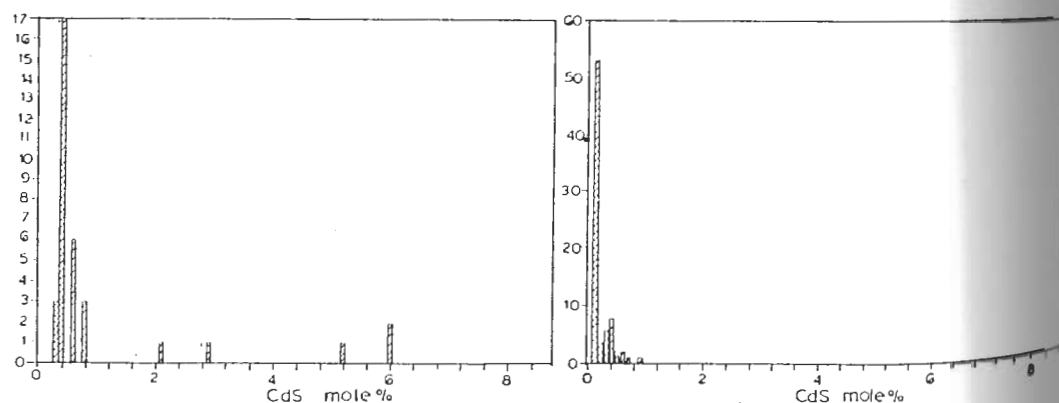
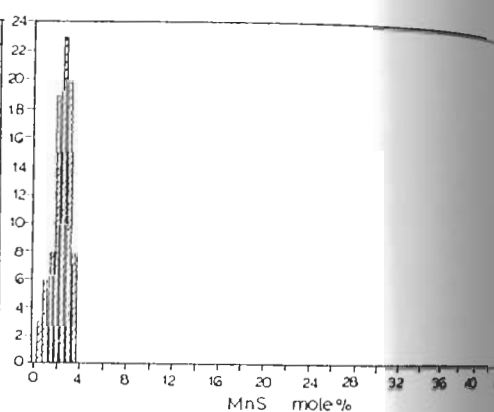
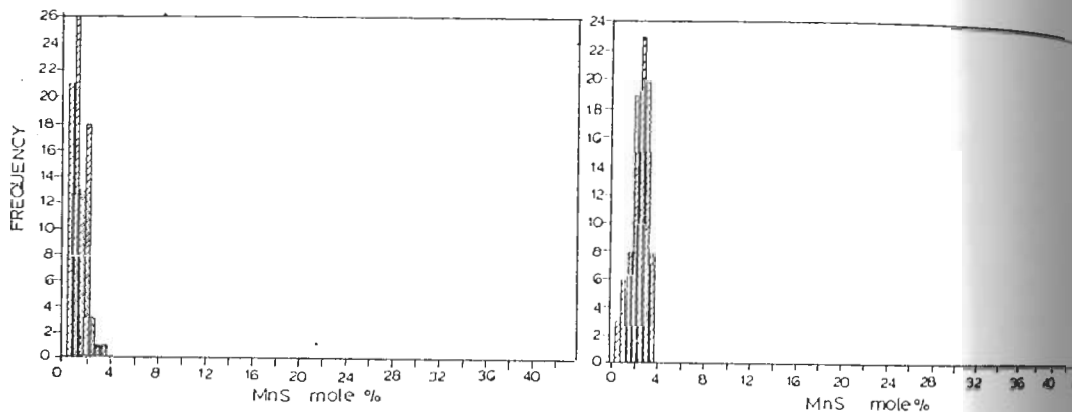
Εικ. 7 Ιστογράμματα όπως στην εικόνα 5 για CdS  
Fig. 7 Histograms as in figure 5 for CdS



Θέρμες



Avat. Χαλκιδική



Εικ. 8 Ιστογράμματα για FeS(A), MnS(B) και CdS(C) σφαλεριτών από τη θερμή και κοιτάσματα της ανατολικής Χαλκιδικής και της περιοχής Θερμών.

Fig. 8 Histograms for FeS(A), MnS(B), and CdS(C) of sphalerites from eastern Chalkidiki deposits and these from Thermes.

Ψηφιακή Βιβλιοθήκη "Θεόφραστος" - Τμήμα Γεωλόγος. ΑΠΘ

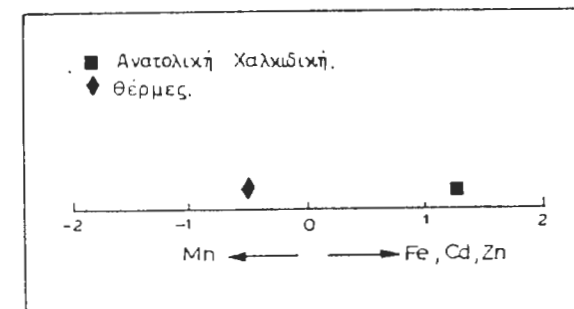
ΙΛΥ. 4. Στατιστικά δεδομένα μετά την εφαρμογή της μεθόδου discriminant μεταξύ σφαλεριτών από τα θερμά κοιτάσματα Pb - Zn (Au, Ag) της ανατολικής Χαλκιδικής και τις αντίστοιχες μεταλλοφορές θερμών, Ξάνθης

Table 4. Statistical data from the application of the discriminant method in the chemistry of two groups of sphalerites from the eastern Chalkidiki Pb-Zn (Au, Ag)sulfide deposits and the respective mineralizations from Thermes, Xanthi

Μεταβλητές FeS, MnS, CdS, και Zn S σε μόρια επι τους εκατό

Eigenvalue	0.70
Έρημηνεύθμενης μεταβλητότητας	100
Κανονική Συσχέτιση (Canonical Correlation)	0.64
Συντελεστές	
FeS	4.06
MnS	-0.05
CdS	1.38
ZnS	3.82

Η διάκριση εντασ στατιστικά σημαντικά σε επίπεδο εμπιστοσύνης καλύτερο από 99%



Εικ. 9. Ανάλυση discriminant μεταξύ σφαλεριτών από τα θερμά κοιτάσματα της ανατολικής Χαλκιδικής και τις αντίστοιχες μεταλλοφορές της περιοχής Θερμών, Ξάνθης.

Fig. 9 Discriminant analysis between sphalerites from the eastern Chalkidiki deposits and the respective mineralization from Thermes Xanthi, Centroids of populations are plotted, only.

ζει στατιστικά σημαντική διαφορά στις δύο τελευταίες ενώ στη φλεβική δείχνει μειωμένη συγκέντρωση. Το κάθιμο τέλος κινείται στα ίδια επίπεδα και στους τρείς "τύπους" των μεταλλοφοριών.

- ιιι) Η στατιστική επεξεργασία των δύο ομάδων δεδομένων χημισμού των σφαλεριών Ανατολικής Χαλκιδικής και Θερμών Ξάνθης με τη μέθοδο discriminant édouard έτσι η διαφορά τους είναι στατιστικά σημαντική (επίπεδο εμπιστοσύνης 99%) και εκφράζεται με αυξημένο σίδηρο, κάθιμο και μειωμένο μαγγάνιο στην πρώτη ομάδα σε σχέση με τη δεύτερη. Ο αυξημένος σίδηρος των σφαλεριών της Θερμής θυμπλάδας και ο μειωμένος φλεβικής μεταλλοφοριών των Θερμών συμβάλλουν σαυτή τη διαφορά.
- ιν) Οι διαφορές του χημισμού των σφαλεριών που εντοπίζονται τόσο μεταξύ τύπων μεταλλοφοριών στην ίδια περιοχή η μεταξύ περιοχών είναι το αποτέλεσμα μεταβολών στην σύσταση των μεταλλοφόρων υδροθερμικών διαλυμάτων η/και στις φυσικοχημικές συνθήκες απόθεσης του μεταλλεύματος. Η παραπέρα έρευνα θα προσανατολισθεί στην επίλυση του παραπάνω προβλήματος.

#### ΒΙΒΛΙΟΓΡΑΦΙΑ

---

- ARVANITIDIS N.D., KALOGEROPOULOS S.I., and FAVAS N., 1987. Zn-Pb-Cu sulfide mineralizations in the area of Thermes Central Rhodope Massif. Presentation in the Greek-Bulgarian symposium on geological and physicogeographical problems of the Rhodope massif at Smolyan, Bulgaria.
- BARTON, P.B., JR. and TOULMIN, P., III, 1966. Phase relations involving sphalerite in the Fe-Zn-S-system: Econ. Geol., V.61, p. 815-849
- KALOGEROPOULOS, S.I., KILLIAS S.P., BITZIOS D.C. NICOLAOU M. and BOTI R.A. 1988. On the genesis of the Eastern Chalkidiki Peninsula Carbonate-hosted Pb-Zn(Au,Ag) massive sulfide ore deposits with emphasis on the Olympias deposit, N. Greece. Submitted to Econ. Geol.
- KOCKEL, P. MOLLAT, H., WALTHER, H., 1977, Erianderungen zur geologischen Karte der Chalkidiki und angrenzender gebiete 1:100,000 (Nord-Griechenland ) Hannover , 119p
- NICOLAOU, M. 1964 Mineralogy and micrography of the sulfide ores of the Kassandra mines, Greece: Annal. Geol. de Fay Hell:v.16, p. 111 -139
- NICOLAOU, M. 1971 On the composition of the Kassandra mines ore bodies. Πρακτικά Ακαδ. Αθηνών, v.44, p. 82-93.
- NICOLAOU M. and KOKONIS D, 1980. Geology and development of Olympias mine, Eastern Chalkidiki, Macedonia, Greece. Jones ed., Complex sulfide ores, IMM, London.
- SCOTT S.D., and BARNEs, H.L., Sphalerite geothermometry and geobarometry: Econ. Geol. v. 66, p. 653-669
- SCOTT, S.D., 1976, Application of the sphalerite geobarometer to regionally Ψηφιακή Βιδυοθέρη "Θεόφραστος": Τμήμα Γεωλογίας Α.Π.Θ.-670.